

<sup>110</sup>Pd(<sup>3</sup>He,2n $\gamma$ ) 1988Wa03

Type	Author	History Citation	Literature Cutoff Date
Full Evaluation	Jean Blachot	NDS 110, 1239 (2009)	1-Feb-2008

E(<sup>3</sup>He)=12,13,14,15,16,18 MeV.

Enriched target 97%. 5.1 mg/CM\*\*2.

Measured:  $\gamma$ ,  $\gamma\gamma$ ,  $\gamma(\theta)$ , A<sub>22</sub>,  $\sigma(e^*)$ .

The authors compare their results with a calculation assuming the 1/2<sup>+</sup> g.s. has a deformation  $\Delta=0.1$ .

They have established a rotational band based on the 1/2<sup>+</sup> g.s. and identified rotational multiplets of g7/2,d5/2,h11/2 parentage.

<sup>111</sup>Cd Levels

E(level)	J $\pi^\dagger$	E(level)	J $\pi^\dagger$	E(level)	J $\pi^\dagger$	E(level)	J $\pi^\dagger$
0.0		853.8 2	7/2 <sup>+</sup>	1298.4 3	(9/2 <sup>+</sup> )	1851.3 5	(19/2 <sup>-</sup> )
245.27 10	5/2 <sup>+</sup>	864.6 5		1339.6 5	(13/2 <sup>-</sup> )	1907.0 5	
342.12 10	3/2 <sup>+</sup>	967.9 2	(15/2 <sup>-</sup> )	1341.2 3		1921.2 3	(13/2 <sup>+</sup> )
396.22 10	11/2 <sup>-</sup>	986.4 5	9/2 <sup>+</sup>	1511.4 5		2147.6 5	(17/2 <sup>-</sup> )
416.55 10	7/2 <sup>+</sup>	1046.8 5	(7/2 <sup>+</sup> )	1552.0 5	(9/2 <sup>+</sup> )	2195.4 5	(15/2 <sup>+</sup> )
620.2 5	5/2 <sup>+</sup>	1115.6 5	3/2 <sup>+</sup> ,5/2 <sup>+</sup>	1565.7 5	(11/2 <sup>-</sup> )	2225.5 5	
753.3 5	5/2 <sup>+</sup>	1256.5 2	11/2 <sup>+</sup>	1666.2 3			
754.9 5	3/2 <sup>+</sup> ,5/2 <sup>+</sup>	1273.9 5	(5/2 <sup>+</sup> )	1826.3 3	9/2,11/2		

<sup>†</sup> From already adopted values, excitation function analysis, and angular distribution measurements.

$\gamma(^{111}\text{Cd})$

E $\gamma$	I $\gamma$	E <sub>i</sub> (level)	J $\pi_i$	E <sub>f</sub>	J $\pi_f$
150.95 10	71 5	396.22	11/2 <sup>-</sup>	245.27	5/2 <sup>+</sup>
171.28 10	180 3	416.55	7/2 <sup>+</sup>	245.27	5/2 <sup>+</sup>
245.27 10	1000	245.27	5/2 <sup>+</sup>	0.0	
270.14 10	6 1	1256.5	11/2 <sup>+</sup>	986.4	9/2 <sup>+</sup>
278.1 5	5 3	620.2	5/2 <sup>+</sup>	342.12	3/2 <sup>+</sup>
342.12 10	183 3	342.12	3/2 <sup>+</sup>	0.0	
371.8 5	13 7	1339.6	(13/2 <sup>-</sup> )	967.9	(15/2 <sup>-</sup> )
374.2 5	10 3	2225.5		1851.3	(19/2 <sup>-</sup> )
374.9 5	22 4	620.2	5/2 <sup>+</sup>	245.27	5/2 <sup>+</sup>
411.2 5	22 5	753.3	5/2 <sup>+</sup>	342.12	3/2 <sup>+</sup>
437.01 10	37 3	853.8	7/2 <sup>+</sup>	416.55	7/2 <sup>+</sup>
507.7 5	59 3	753.3	5/2 <sup>+</sup>	245.27	5/2 <sup>+</sup>
509.4 5	81 45	754.9	3/2 <sup>+</sup> ,5/2 <sup>+</sup>	245.27	5/2 <sup>+</sup>
569.8 5	107 10	986.4	9/2 <sup>+</sup>	416.55	7/2 <sup>+</sup>
571.64 10	170 10	967.9	(15/2 <sup>-</sup> )	396.22	11/2 <sup>-</sup>
597.8 5	8 4	1565.7	(11/2 <sup>-</sup> )	967.9	(15/2 <sup>-</sup> )
608.71 10	122 5	853.8	7/2 <sup>+</sup>	245.27	5/2 <sup>+</sup>
619.5 5	4 2	864.6		245.27	5/2 <sup>+</sup>
620.2 5	90 15	620.2	5/2 <sup>+</sup>	0.0	
679.76 10	14 1	1666.2		986.4	9/2 <sup>+</sup>
704.7 5	102 10	1046.8	(7/2 <sup>+</sup> )	342.12	3/2 <sup>+</sup>
741.16 10	39 2	986.4	9/2 <sup>+</sup>	245.27	5/2 <sup>+</sup>
753.0 5	26 5	753.3	5/2 <sup>+</sup>	0.0	
754.9 5	8 1	754.9	3/2 <sup>+</sup> ,5/2 <sup>+</sup>	0.0	
773.5 5	3 1	1115.6	3/2 <sup>+</sup> ,5/2 <sup>+</sup>	342.12	3/2 <sup>+</sup>
779.40 10	11 1	1826.3	9/2,11/2	1046.8	(7/2 <sup>+</sup> )
801.6 5	10 8	1046.8	(7/2 <sup>+</sup> )	245.27	5/2 <sup>+</sup>

Continued on next page (footnotes at end of table)

$^{110}\text{Pd}(\text{}^3\text{He}, 2\text{n}\gamma)$  **1988Wa03 (continued)** $\gamma(^{111}\text{Cd})$  (continued)

$E_\gamma$	$I_\gamma$	$E_i(\text{level})$	$J_i^\pi$	$E_f$	$J_f^\pi$
808.0 5	4 1	2147.6	(17/2 <sup>-</sup> )	1339.6	(13/2 <sup>-</sup> )
840.02 10	107 4	1256.5	11/2 <sup>+</sup>	416.55	7/2 <sup>+</sup>
864.8 5	11 2	864.6		0.0	
881.90 10	24 3	1298.4	(9/2 <sup>+</sup> )	416.55	7/2 <sup>+</sup>
883.4 5	24 4	1851.3	(19/2 <sup>-</sup> )	967.9	(15/2 <sup>-</sup> )
891.3 5	18 5	1511.4		620.2	5/2 <sup>+</sup>
931.8 <sup>†</sup> 5	15 <sup>†</sup> 3	1273.9	(5/2 <sup>+</sup> )	342.12	3/2 <sup>+</sup>
931.8 <sup>†</sup> 5	15 <sup>†</sup> 3	1552.0	(9/2 <sup>+</sup> )	620.2	5/2 <sup>+</sup>
934.75 10	23 3	1921.2	(13/2 <sup>+</sup> )	986.4	9/2 <sup>+</sup>
938.8 5	10 3	2195.4	(15/2 <sup>+</sup> )	1256.5	11/2 <sup>+</sup>
943.42 10	56 2	1339.6	(13/2 <sup>-</sup> )	396.22	11/2 <sup>-</sup>
999.09 10	11 3	1341.2		342.12	3/2 <sup>+</sup>
1053.2 5	20 10	1298.4	(9/2 <sup>+</sup> )	245.27	5/2 <sup>+</sup>
1053.4 5	6 2	1907.0		853.8	7/2 <sup>+</sup>
1094.8 5	7 2	1511.4		416.55	7/2 <sup>+</sup>
1115.6 5	40 10	1115.6	3/2 <sup>+</sup> , 5/2 <sup>+</sup>	0.0	
1169.48 10	18 4	1565.7	(11/2 <sup>-</sup> )	396.22	11/2 <sup>-</sup>
1179.73 10	12 1	2147.6	(17/2 <sup>-</sup> )	967.9	(15/2 <sup>-</sup> )

<sup>†</sup> Multiply placed with undivided intensity.

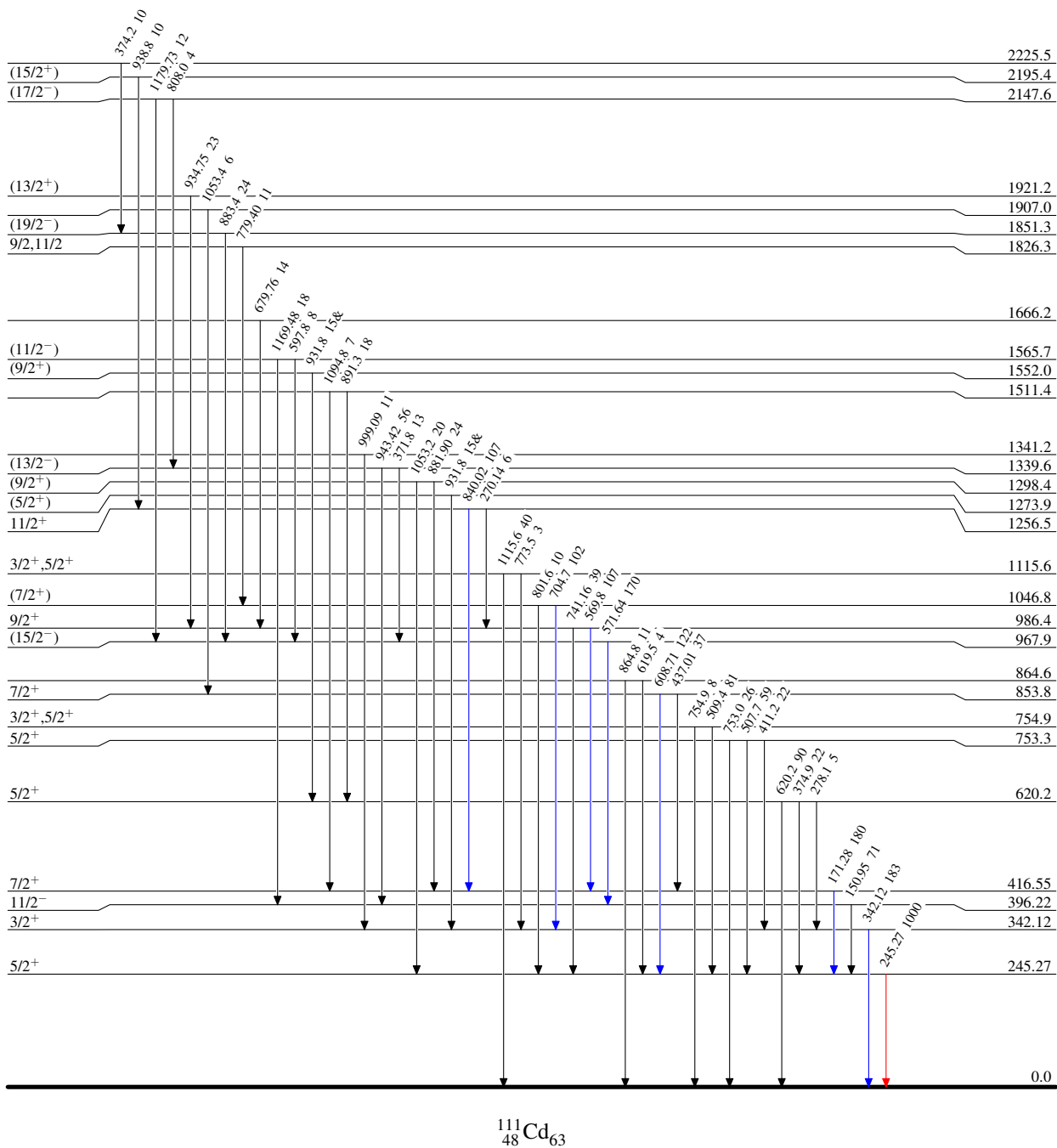
$^{110}\text{Pd}(^3\text{He},2n\gamma)$  1988Wa03

Level Scheme

Intensities: Type not specified  
& Multiply placed: undivided intensity given

Legend

- $I_\gamma < 2\% \times I_\gamma^{max}$
- $I_\gamma < 10\% \times I_\gamma^{max}$
- $I_\gamma > 10\% \times I_\gamma^{max}$



$^{111}_{48}\text{Cd}_{63}$